

# Nagyenergiás nehézion-ütközések numerikus hidrodinamikai modellezése

Bagoly Attila  
ELTE TTK Fizika BSc, 3. évfolyam

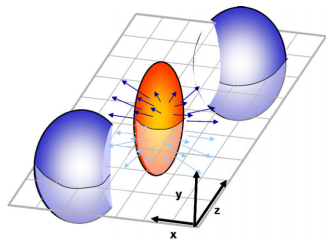
Témavezető:  
Csanád Máté

ELTE TTK Atomfizikai tanszék

2015.06.12.

# Bevezető

- Nehézion ütközések: nagy energiasűrűség  $\rightarrow$  kvark szabadsági fokok
- Ősrobbanás: univerzum kvarkok és gluonok „őslevese”
- Kísérleti tapasztalat (2005): tökéletes folyadék
- Nagy hatáskeresztmetszetek, gyors termalizáció  $\rightarrow$  statisztikus fizika
- Kezdeti eloszlás: aszimmetriák  $\rightarrow$  kifagynak a részecskék eloszlásában



# Motiváció

Kvark-gluon plazma folyadékszerű viselkedésének következtében:

- hogyan hatnak különböző effektusok az aszimmetriák időfejlődésére
- analitikusan nem kezelhető effektusok

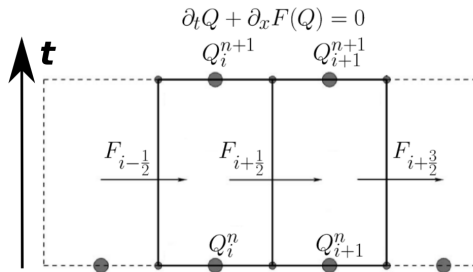
⇒ Numerikus hidrodinamika: realisztikus modell QGP-re, de minden effektus hatása keveredik

⇒ Kezdőfeltétel: legyen közel létező analitikus megoldásokhoz, de realisztikusabb modellt adjon

# Numerikus módszer

- Hidrodinamika egyenletei:  $\partial_t Q + \partial_x F(Q) + \partial_y G(Q) = 0$
- Transzverz sík kitüntetett: 2 + 1 dimenziós egyenletek

- Numerikus megoldás:  
diszkretizáció ← véges térfogat  
módszer
- Probléma: fluxusok a  
rácspontok között



- Instabilitás: perturbáció amely rácspontokban nulla → CFL feltétel
- 2 térdimenziót bonyolult → operátor szétválasztás
- Viskozitás: ideális fluxus + viszkózus fluxus ← operátor szétválasztás

# MUSTA módszer

- $n$ -edik időlépésben:  $Q_i^{(0)} \equiv Q_i^n$ ,  $Q_{i+1}^{(0)} \equiv Q_{i+1}^n$
- $\ell$ -edik előrejelzett fiktív értékek:  $Q_i^{(\ell)}$ ,  $F_i^{(\ell)} \equiv F(Q_i^{(\ell)})$
- Köztes érték és fluxus:

$$Q_{i+\frac{1}{2}}^{(\ell)} = \frac{1}{2} [Q_i^{(\ell)} + Q_{i+1}^{(\ell)}] - \frac{1}{2} \frac{\Delta t}{\Delta x} [F_{i+1}^{(\ell)} - F_i^{(\ell)}], \quad F_M^{(\ell)} \equiv F(Q_{i+\frac{1}{2}}^{(\ell)})$$

- Korrigált cellaközi fluxus:

$$F_{i+\frac{1}{2}}^{(\ell)} = \frac{1}{4} \left[ F_{i+1}^{(\ell)} + 2F_M^{(\ell)} + F_i^{(\ell)} - \frac{\Delta x}{\Delta t} (Q_{i+1}^{(\ell)} - Q_i^{(\ell)}) \right]$$

- Következő előrejelzés a korrigált fluxusok meghatározásához:

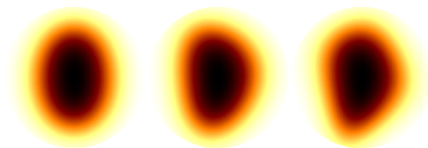
$$Q_i^{(\ell+1)} = Q_i^{(\ell)} - \frac{\Delta t}{\Delta x} [F_{i+\frac{1}{2}}^{(\ell)} - F_i^{(\ell)}]$$

- $k$  lépés  $\rightarrow F_{i+\frac{1}{2}} = F_{i+\frac{1}{2}}^{(k)} \implies Q_i^{n+1} = Q_i^n - \frac{\Delta t}{\Delta x} (F_{i+\frac{1}{2}} - F_{i-\frac{1}{2}})$
- A módszer publikálva: E. F. Toro et al, 2006, J. Comp. Phys

# Kezdőfeltétel és aszimmetria paraméterek

- Mennyiségek: helyfüggés csak skálaváltozóban, ebben szimmetria
- Számsűrűség és nyomás  $\propto \exp(-s)$ ; sebességmező: Hubble/0
- Skálaváltozó:

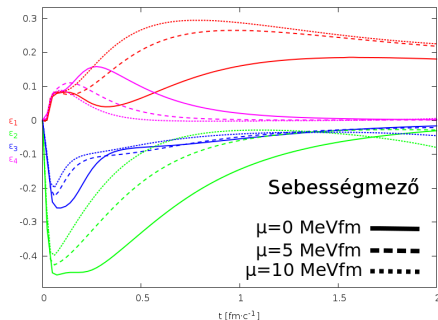
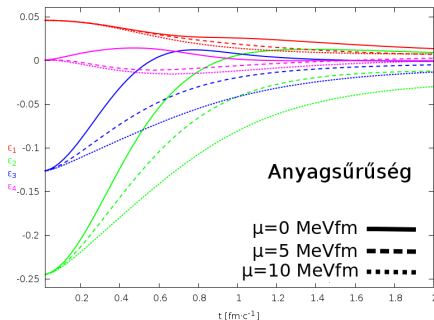
$$s = \frac{r^2}{R^2} (1 + \epsilon_2 \cos(2\phi) + \epsilon_3 \cos(3\phi) + \epsilon_4 \cos(4\phi))$$



- Aszimmetriát jellemző paraméter:  $\epsilon_n = \langle \cos(n\phi) \rangle_{\rho/\mathbf{v}/p}$
- $\epsilon_n$  (most bevezetett)  $\neq \epsilon_m$  (kezdőfeltétel skálaváltozójában)
- Sorfejtés  $\rightarrow$  kapcsolat:  $\epsilon_2/\epsilon_4$  és  $\epsilon_3 \Rightarrow \epsilon_1$

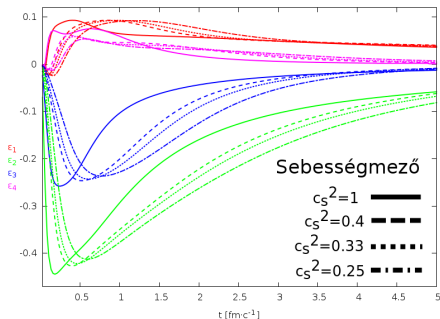
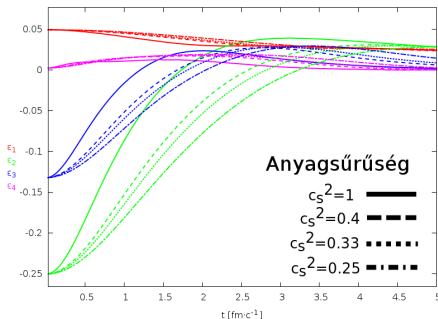
# Viszkozitás hatása

- Energiasűrűségben és anyagsűrűségben: lassít
  - Viszkozitás: lassítja az áramlást
- Sebességeloszlásban: gyorsít
  - Nagyobb, kisebb aszimmetriájú részek más erőt éreznek: különbségek gyorsan eltűnnek
- Ábra:  $\varepsilon_1$  piros,  $\varepsilon_2$  zöld,  $\varepsilon_3$  kék,  $\varepsilon_4$  magenta



# Hangsebesség hatása

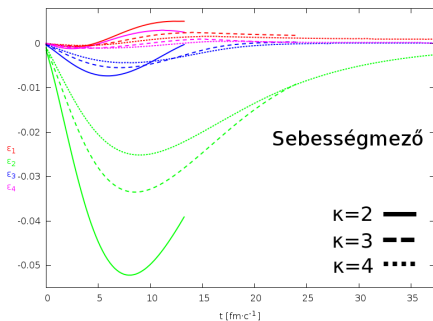
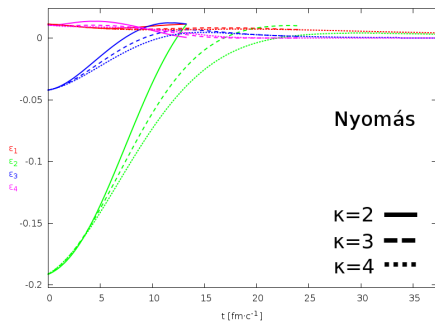
- Minden eloszlásban: aszimmetriák eltűnése lassul
  - Nyomáshullámok sebessége csökken  $\rightarrow$  kiegyenlítődés tovább tart
- Hangsebességek:  $c_s^2 = 1$  vagy 0,4 vagy 0,33 vagy 0,25





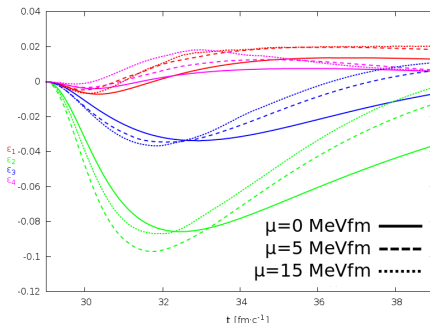
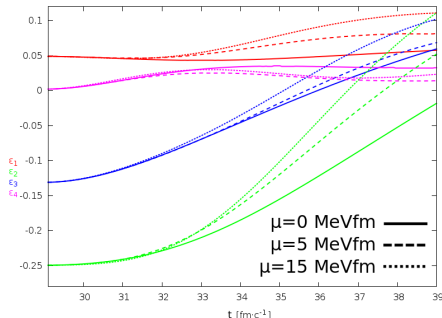
# Hangsebesség hatása

- Minden eloszlásban: aszimmetriák eltűnése lassul
  - Nyomáshullámok sebessége csökken  $\rightarrow$  kiegyenlítődés tovább tart
- Kifagyás máskor történik!



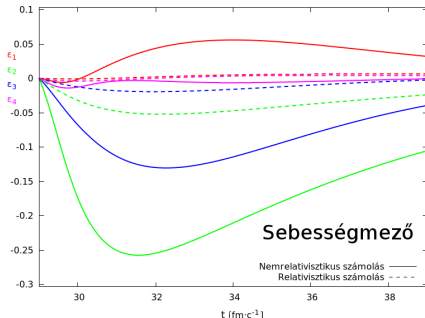
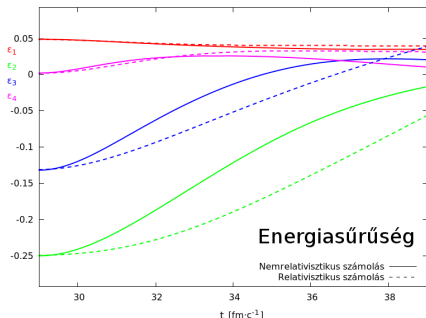
# Viszkozitás hatása

- Energiasűrűségben, anyagsűrűségben, sebességeloszlásban: gyorsít
- Nemrelativisztikus esetben más eredmény
- Ábra: nyomáseloszlásban és sebességmezőben számolt aszimmetriaparaméterek



# Relativisztikus és nemrelativisztikus hidrodinamika összehasonlítása

- Relativisztikus eset: lassabban tűnik el az asszimmetria
- Nemrelativisztikus eset: sebességmezőben nagyobb asszimmetria alakul ki



# Összegzés

- Motiváció: egyszerű effektusok, hogyan befolyásolják az aszimmetriák időfejlődését
- Analitikus tárgyalás korlátozottabb, ezért numerikus módszert alkalmaztunk

# Összegzés

- Motiváció: egyszerű effektusok, hogyan befolyásolják az aszimmetriák időfejlődését
- Analitikus tárgyalás korlátozottabb, ezért numerikus módszert alkalmaztunk
- Kezdőfeltétel hasonló a már létező analitikus megoldásokhoz, de realisztikusabb

# Összegzés

- Motiváció: egyszerű effektusok, hogyan befolyásolják az aszimmetriák időfejlődését
- Analitikus tárgyalás korlátozottabb, ezért numerikus módszert alkalmaztunk
- Kezdőfeltétel hasonló a már létező analitikus megoldásokhoz, de realisztikusabb
- Viskozitás vizsgálatánál relativisztikus és nemrelativisztikus esetben nagyon eltérő eredményt kaptunk

# Összegzés

- Motiváció: egyszerű effektusok, hogyan befolyásolják az aszimmetriák időfejlődését
- Analitikus tárgyalás korlátozottabb, ezért numerikus módszert alkalmaztunk
- Kezdőfeltétel hasonló a már létező analitikus megoldásokhoz, de realisztikusabb
- Viskozitás vizsgálatánál relativisztikus és nemrelativisztikus esetben nagyon eltérő eredményt kaptunk
- Hangsebesség csökkentése lassítja az aszimmetriák időfejlődését, kifagyás később következik be

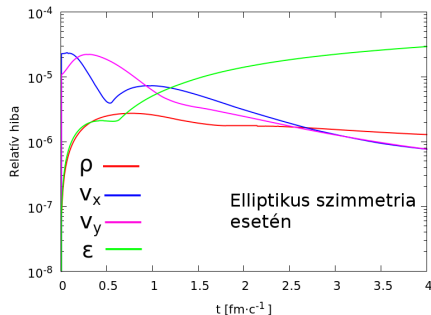
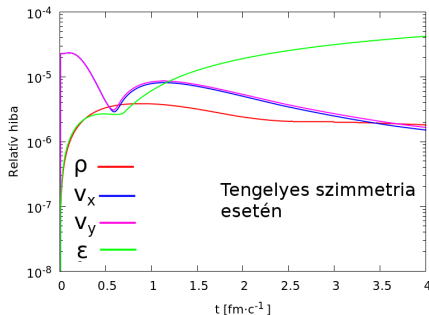
# Köszönöm a figyelmet!



# Kód tesztelése

- Egzakt megoldással (Csörgő et al, PhysRevC67)
- Relatív hiba a numerikus és analitikus megoldás közt:

$$\int |\rho_{\text{analitikus}}(t, \underline{x}) - \rho_{\text{numerikus}}(t, \underline{x})| d^2x \bigg/ \int \rho_{\text{analitikus}}(t, \underline{x}) d^2x$$

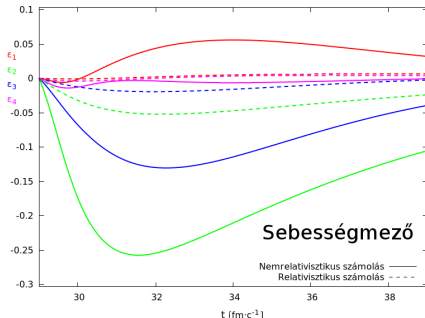
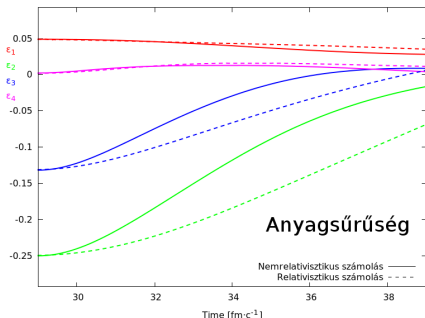


# Aszimmetriák jellemzése

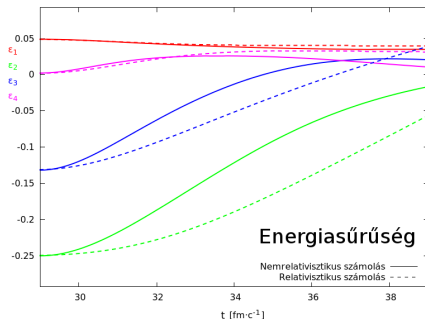
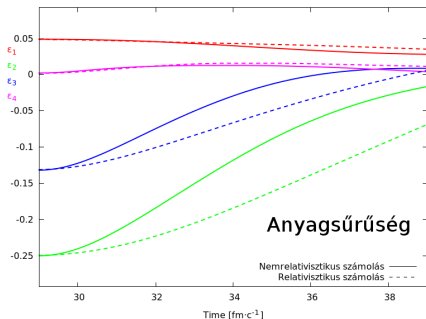
- Skálaváltozó:  $s = \frac{r^2}{R^2} (1 + \epsilon_2 \cos(2\phi) + \epsilon_3 \cos(3\phi) + \epsilon_4 \cos(4\phi))$
- Aszimmetriát jellemző paraméter:  $\epsilon_n = \langle \cos(n\phi) \rangle_{\rho/v/p}$
- $\epsilon_n$  (most bevezetett)  $\neq \epsilon_m$  (kezdőfeltétel skálaváltozójában)
- Kezdetben a  $\epsilon_n$  és  $\epsilon_m$  közti kapcsolatot becsülhetjük Taylor-sorfejtéssel:
  - $\epsilon_1 = 0 + \epsilon_3(\epsilon_2 + \epsilon_4) + \mathcal{O}(\epsilon^4)$
  - $\epsilon_2 = -\epsilon_2 + \epsilon_2\epsilon_4 + \epsilon_2 \sum_n \epsilon_n^2 + \mathcal{O}(\epsilon^4)$
  - $\epsilon_3 = -\epsilon_3 + \epsilon_3 \sum_n \epsilon_n^2 + \mathcal{O}(\epsilon^4)$
  - $\epsilon_4 = -\epsilon_4 + \frac{1}{2}\epsilon_2^2 - \epsilon_4 \sum_n \epsilon_n^2 + \mathcal{O}(\epsilon^4)$

# Relativisztikus és nemrelativisztikus hidrodinamika összehasonlítása

- Relativisztikus eset: lassabban tűnik el az asszimmetria
- Nemrelativisztikus eset: sebességmezőben nagyobb asszimmetria alakul ki



# Relativisztikus és nemrelativisztikus hidrodinamika összehasonlítása



# Hidrodinamika egyenletei

## ■ Nemrelativisztikus hidrodinamika:

■ Anyagmegmaradás:  $\frac{\partial \rho}{\partial t} + \nabla \rho \mathbf{v} = 0$

■ Impulzusmegmaradás:

$$\rho \left( \frac{\partial \mathbf{v}}{\partial t} + (\mathbf{v} \nabla) \mathbf{v} \right) = -\nabla p + \mu \Delta \mathbf{v} + \left( \zeta + \frac{\mu}{3} \right) \nabla (\nabla \mathbf{v}) + \mathbf{f}$$

■ Energiamegmaradás:  $\frac{\partial \varepsilon}{\partial t} + \nabla \varepsilon \mathbf{v} = -p \nabla \mathbf{v} + \nabla (\sigma \mathbf{v})$

■  $\rho$  anyagsűrűség,  $\mathbf{v}$  sebességmező,  $\varepsilon$  energiasűrűség,  $p$  nyomáseloszlás

## ■ Relativisztikus hidrodinamika:

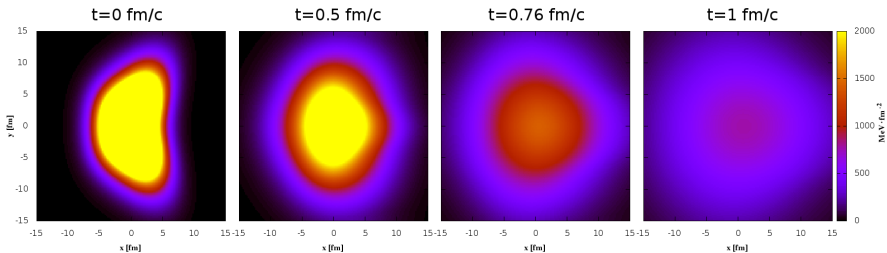
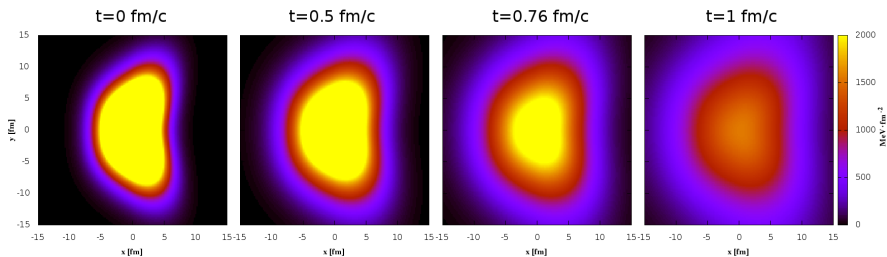
$$T^{\mu\nu} = (\varepsilon + p) u^\mu u^\nu - p g^{\mu\nu}, \quad \partial_\mu T^{\mu\nu} = 0$$

■  $T^{\mu\nu}$  energia-impulzus tenzor,  $u^\mu$  négyes-sebesség,  $g^{\mu\nu}$  metrikus tenzor

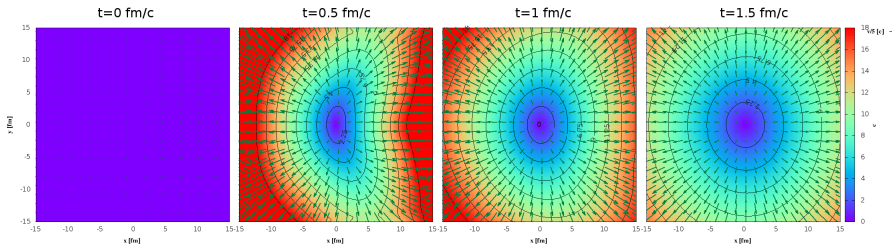
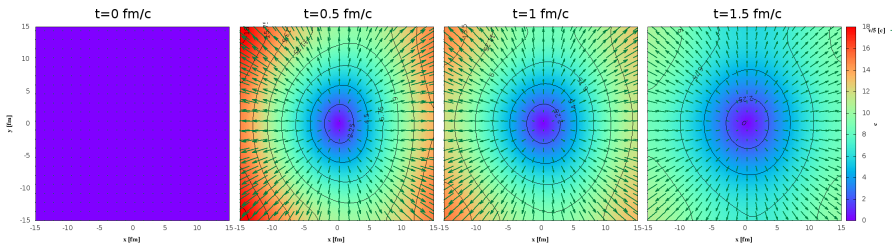
■ Állapotegyenlet:  $\varepsilon = \kappa(T) p$  ( $\kappa = 1/c_s^2$ ,  $\kappa = 3/2$  id. gáz)

■ Advekción forma:  $\partial_t Q(\rho, \varepsilon, \mathbf{v}) + \partial_x F(Q) = 0$  ( $F$  fluxus)

# Viszkozitás hatása: energiasűrűség időfejlődése

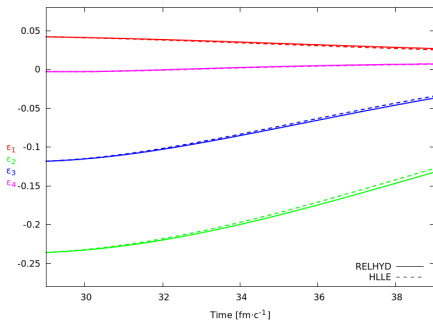
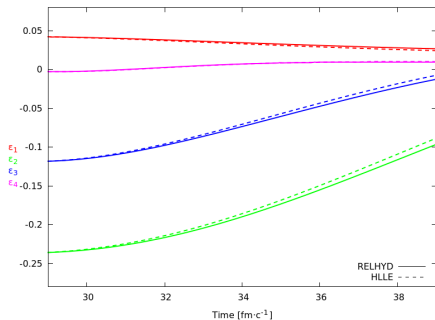
 $\mu = 0 \text{ MeV fm}/c$ 

 $\mu = 10 \text{ MeV fm}/c$ 


# Viszkozitás hatása: sebességeloszlás időfejlődése

 $\mu = 0 \text{ MeVfm}/c$ 

 $\mu = 10 \text{ MeVfm}/c$ 


# Relativisztikus kód tesztelése: Számsűrűség

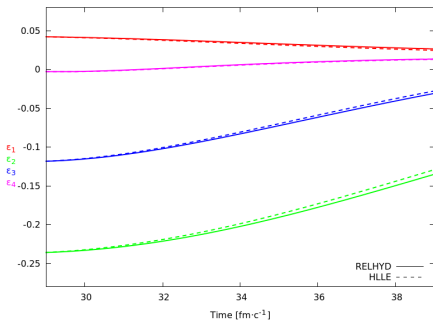
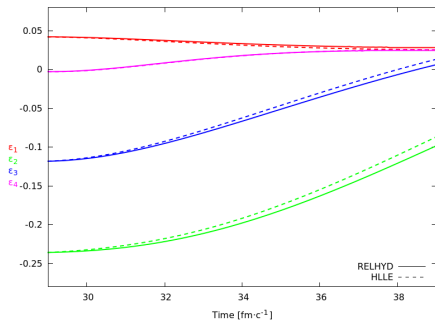
$\kappa = 2$  és  $\kappa = 4$





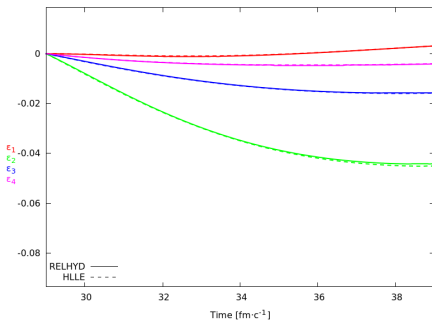
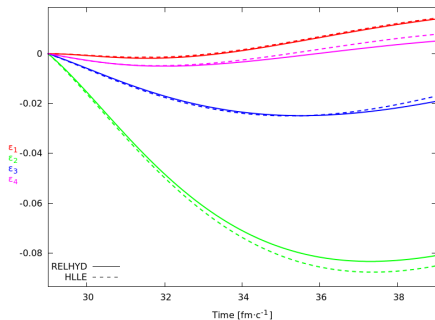
# Relativisztikus kód tesztelése: Nyomás

$\kappa = 2$  és  $\kappa = 4$



# Relativisztikus kód tesztelése: Sebességmező

$\kappa = 2$  és  $\kappa = 4$



# Kód tesztelése

- Nemrelativisztikus esetben: egzakt megoldással (Csörgő et al, PhysRevC67):

$$s = \frac{x^2}{X^2(t)} + \frac{y^2}{Y^2(t)}$$

$$\rho = \rho_0 \frac{V_0}{V} e^{-s}, \quad p = p_0 \left( \frac{V_0}{V} \right)^{1+\frac{1}{\kappa}} e^{-s}$$

$$\mathbf{v}(t, \mathbf{r}) = \left( \frac{\dot{X}}{X} x, \frac{\dot{Y}}{Y} y \right)$$

$$\ddot{X}X = \ddot{Y}Y = \frac{T_i}{m} \left( \frac{V_0}{V} \right)^{\frac{1}{\kappa}}, \quad V = X(t)Y(t)$$

# Bíróló kérdései és válaszok

- Azt írja, hogy a RHIC az LHC utáni legnagyobb energiájú részecskegyorsító. Milyen értelemben nagyobb a RHIC gyorsító 100 GeV/n energiája az LHC előgyorsítójaként is használt SPS 450 GeV/n energiájánál?  
Az ütközés során nukleononkénti tömegközépponti energia nagyobb (SPS fix céltárgyat használ).
- Valóban rendelkezik-e a standard modell  $U(1) \times SU(2)$  mértékszimmetriával?  
A Lagrange-függvény rendelkezik ezen szimmetriával, de az alapállapot sérti.  
Tehát nem.
- A kvarkanyag elektromos töltése sokszorosa az atommagénak. Miért egyezik mégis a kiszabaduló fotonok észlelt mennyisége periférikus és centrális ütközések esetén?  
A fotonok száma nem ugyanannyi, hanem az  $R_{AA}$  konstans (nukleáris módosulási faktor). Ami azt jelenti, hogy minden centralistánál annyi foton keletkezik amennyit N+N ütközésekből várunk.

# Bíráló kérdései és válaszok

- Miért feltételezheti az 1.3 részben az ütköző atommagok gömbszimmetriáját a nagy sebességeknél fellépő Lorentz-kontrakció ellenére?

Ez egy közelítés, az egyszerű szemléltetés kedvéért. Az ütköző magok elnyúlt ellipszoidok, a végállapotban kifagyáskor longitudinális irányba elnyúlt eloszlás lesz, valamilyen köztes időpillanatban lehet gömbhöz közeli szimmetria.

- Mit jelöl  $\sqrt{-g}$  a (2.2.2) egyenletben hidrodinamikai esetben?

Jacobi determináns jelöli, függetlenül, az anyagi Lagrange-sűrűségfüggvényről.

- Miért használhat nemrelativisztikus hidrodinamikát mélyen relativisztikus ütközések leírására? Milyen információt nyújt a relativisztikus tárgyaláshoz képest?

Ez egy közelítés, eredményeit összevetve a relativisztikus eredményekkel láthatjuk, hogy fizikai folyamatok alakítják az asszimmetriák időfejlődését, és nem a relativisztikus hidrodinamika „különlegessége”. Vízkozitás esetén is elvégezhető az összehasonlítás, ami fontos, hiszen relativisztikusan nem definiált, hogy lehet a súrlódást kezelni.

# Operátorok felbontása

$$\partial_t u = Au + Bu$$

$$u(t + \Delta t) = e^{\Delta t(A+B)} u(t)$$

$$u_{\text{Lie}}(t + \Delta t) = e^{\Delta t A} e^{\Delta t B} u(t)$$

$$u_{\text{Strang}}(t + \Delta t) = e^{\frac{1}{2}\Delta t A} e^{\Delta t B} e^{\frac{1}{2}\Delta t A} e^{\Delta t B} u(t)$$

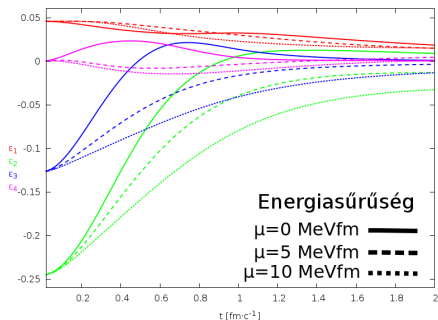
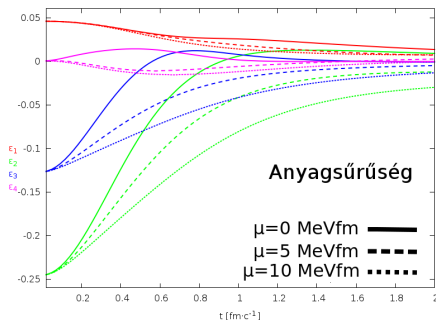
# Viszkózus hidrodinamika

$$\partial_t Q + \partial_x F_{\text{id}}(Q) + \partial_y G_{\text{id}}(Q) + \partial_x F_{\text{visc}}(Q, \partial Q) + \partial_y G_{\text{visc}}(Q, \partial Q) = 0$$

$\implies$  operátorfelbontás

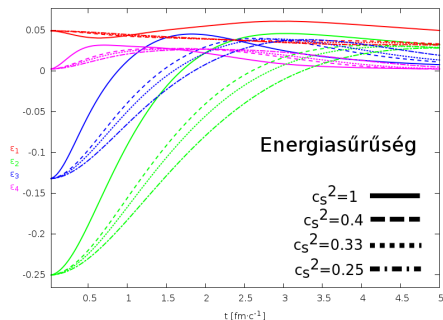
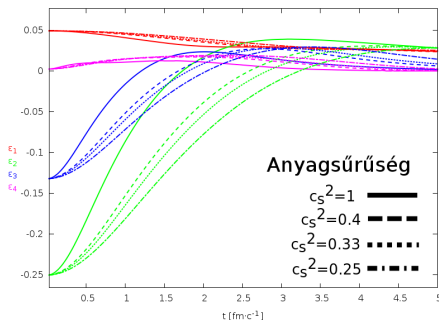
- Ideális lépés:  $\partial_t Q + \partial_x F_{\text{id}}(Q) + \partial_y G_{\text{id}}(Q) = 0 \rightarrow Q^{\text{id}}, \partial Q^{\text{id}}$   
 $\rightarrow F_{\text{visc}}, G_{\text{visc}}$
- Viszkózus lépés:  $\partial_t Q + \partial_x F_{\text{visc}}(Q^{\text{id}}, \partial Q^{\text{id}}) + \partial_y G_{\text{visc}}(Q^{\text{id}}, \partial Q^{\text{id}}) = 0$   
 $\rightarrow Q$

# Viszkozitás hatása: $\varepsilon_n$ anyag- és energiasűrűségben

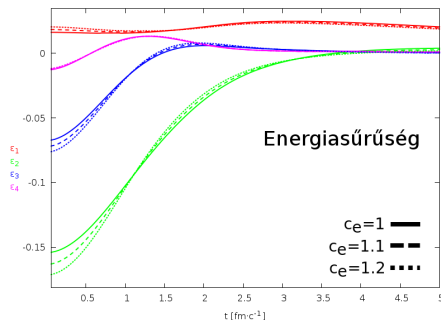
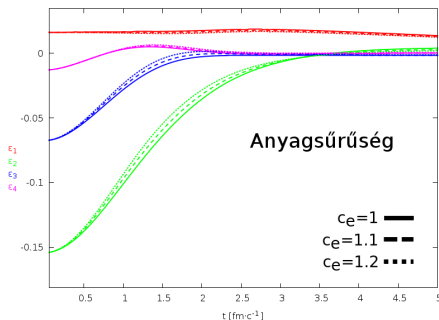




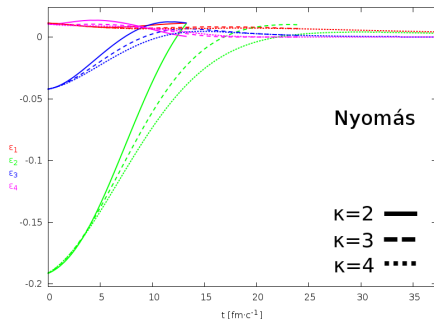
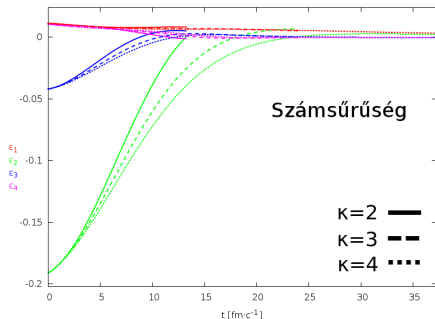
# Hangsebesség hatása: $\varepsilon_n$ anyag- és energiasűrűségben



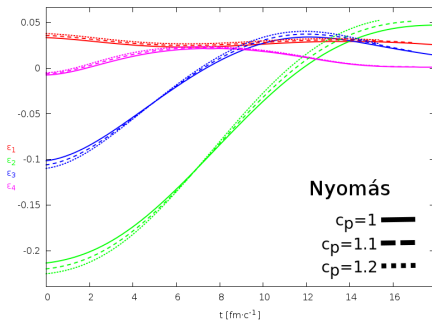
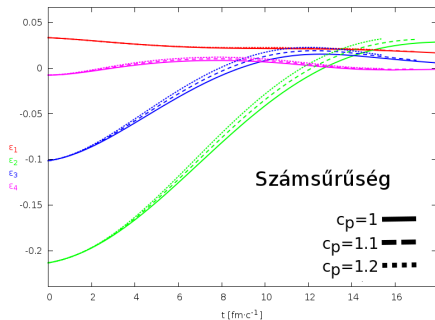
# Nyomásgradiens hatása: $\varepsilon_n$ anyag- és energiasűrűségben



# Hangsebesség hatása: $\varepsilon_n$ számsűrűségben és nyomáseloszlásban



# Nyomásgradiens hatása: $\varepsilon_n$ számsűrűségben és nyomáseloszlásban



# Kitekintés

- Viskozitás hatásának vizsgálata relativisztikus esetben
- Relativisztikus és nemrelativisztikus viszkozitás összehasonlítása
- QCD állapotegyenlet használata